



Исследование различных режимов движения тетраэдральной формации, управляемой с помощью силы Лоренца

Аспирант группы А05-201

Научный руководитель

Чернов Кирилл

к.ф.-м.н. Иванов Д.С.

Московский физико-технический институт,

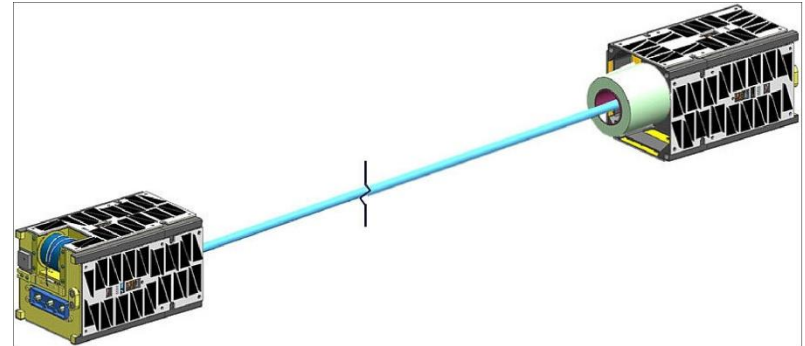
ИПМ им. М.В. Келдыша РАН

Содержание работы

- Введение
- Постановка задачи
- Расчет требуемого управления
- Вычисление силы Лоренца
- Численное исследование
- Заключение

Электродинамические тросы

- На проводник с током в магнитном поле Земли действует сила
- Эту силу можно использовать для управления движением аппаратов, связанных электродинамическим тросом
- В настоящий момент разрабатывается ряд миссий



Tether Electrodynamic Propulsion
CubeSat Experiment (TEPCE)



Tether Physics and Survivability
Experiment (TiPS)

Задачи управления

- Основная задача – удерживать трос в натянутом состоянии
- Для создания центробежной силы система раскручивается относительно центра масс с помощью двигателей
- Существующие проекты нацелены на управление орбитальным движением тросовой системы
- В настоящей работе рассматриваются 4 аппарата, соединенных электродинамическими тросами, с помощью которых обеспечивается:
 - Угловое движение для натяжения тросов
 - Требуемое орбитальное движение центра масс

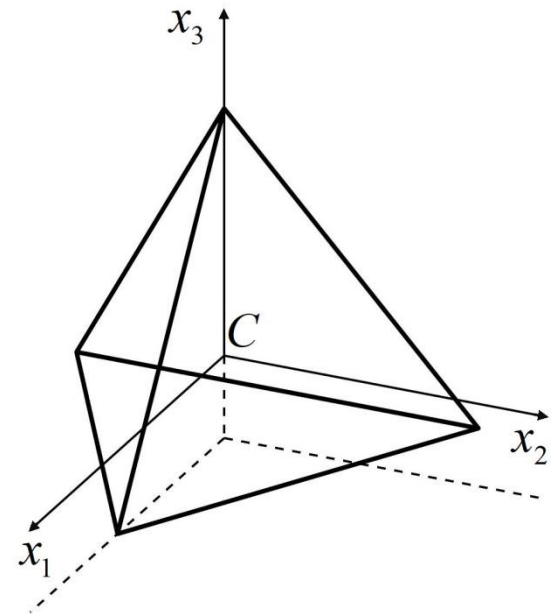
Постановка задачи

Дано:

- 4 спутника в вершинах правильного тетраэдра
- Каждый спутник соединен с остальными жесткими стержнями
- Стержни проводят электрический ток

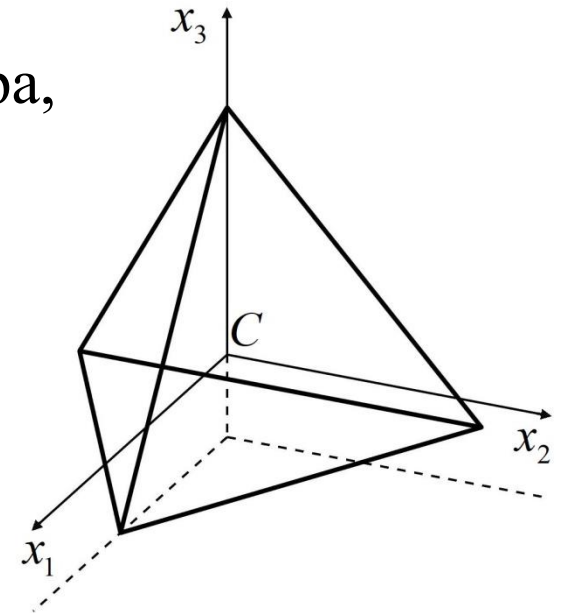
Требуется:

Построить управление с помощью электрического тока, текущего по стержням, для достижения требуемого углового и орбитального движения системы



Системы координат

- Инерциальная – центр в центре Земли, система не вращается
- Орбитальная – движется по круговой орбите
- Опорная – центр движется по орбите, система вращается с постоянной угловой скоростью
- Связанная – центр в центре масс тетраэдра, две оси параллельны одной из граней, третья ось направлена на вершину, не лежащую на этой грани



Уравнения движения

Тетраэдр (связанная система координат)

Орбитальное

$$\begin{cases} \dot{\mathbf{r}} = \mathbf{v} \\ \dot{\mathbf{v}} = -\frac{\mu}{r^3} \mathbf{r} + \mathbf{f}_{J_2} + \mathbf{f}_{control} \end{cases}$$

Угловое

$$\begin{cases} \dot{\boldsymbol{\omega}} = \mathbf{J}^{-1} (\mathbf{M}_{grav} + \mathbf{M}_{control} - \boldsymbol{\omega} \times \mathbf{J} \boldsymbol{\omega}) \\ \dot{\mathbf{q}} = \frac{1}{2} \mathbf{q} \circ [0; \boldsymbol{\omega}] \end{cases}$$

Опорная система координат

Орбитальное

$$\begin{cases} \dot{\mathbf{r}}_{ref} = \mathbf{v}_{ref} \\ \dot{\mathbf{v}}_{ref} = -\frac{\mu}{r_{ref}^3} \mathbf{r}_{ref} \end{cases}$$

Угловое

$$\begin{cases} \dot{\boldsymbol{\omega}}_{ref} = 0 \\ \dot{\mathbf{q}}_{ref} = \frac{1}{2} \mathbf{q}_{ref} \circ [0; \boldsymbol{\omega}_{ref}] \end{cases}$$

Сила Лоренца

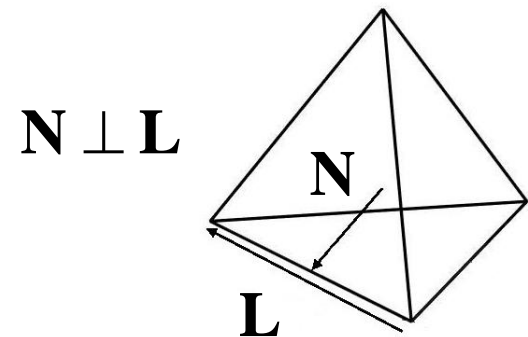
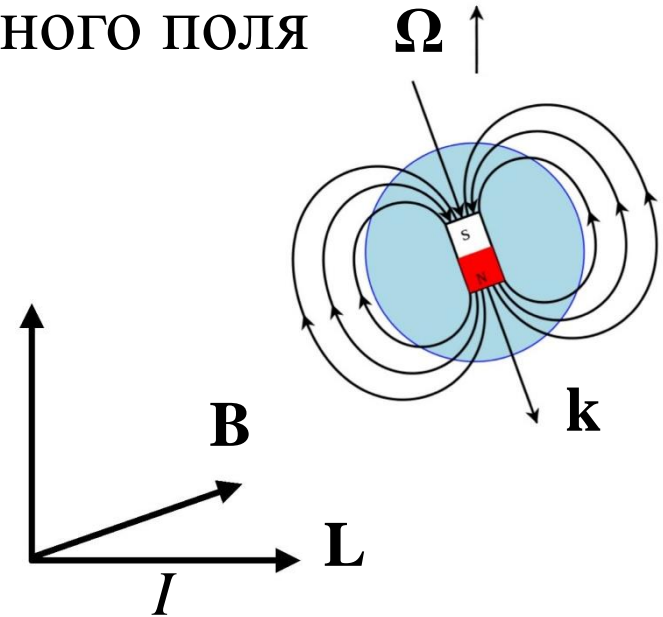
- Рассматривается модель наклонного диполя Земли для расчета индукции геомагнитного поля $\Omega \uparrow$

- Сила Лоренца перпендикулярна вектору магнитной индукции

$$\mathbf{F} = I \mathbf{L} \times \mathbf{B}$$

- Момент каждой силы направлен вдоль ребра

$$\begin{aligned} \mathbf{M} &= \mathbf{N} \times \mathbf{F} = \mathbf{N} \times (I \mathbf{L} \times \mathbf{B}) = \\ &= I (\mathbf{N}^T \mathbf{B}) \mathbf{L} - I \mathbf{B} (\mathbf{N}^T \mathbf{L}) = I \mathbf{L} (\mathbf{N}^T \mathbf{B}) \end{aligned}$$



Уравнения Хилла–Клохесси–Уилтшира

- Линеаризованные уравнения относительного движения в орбитальной системе координат [1]

$$\begin{cases} \ddot{x} + 2\omega_{orb}\dot{z} = f_x \\ \ddot{y} + \omega_{orb}^2 y = f_y \\ \ddot{z} - 2\omega_{orb}\dot{x} - 3\omega_{orb}^2 z = f_z \end{cases} \begin{bmatrix} x \\ y \\ z \end{bmatrix} = \mathbf{r} - \mathbf{r}_{ref}$$

- Решение для свободного движения

$$\begin{cases} x(t) = -3C_1\omega_{orb}t + 2C_2 \cos(\omega_{orb}t) - 2C_3 \sin(\omega_{orb}t) + C_4 \\ y(t) = C_5 \sin(\omega_{orb}t) + C_6 \cos(\omega_{orb}t) \\ z(t) = 2C_1 + C_2 \sin(\omega_{orb}t) + C_3 \cos(\omega_{orb}t) \end{cases}$$

[1] Hill, G.W. Researches in Lunar Theory //

American Journal of Mathematics, 1878. Vol. 1. Pp. 5–26.

Требуемое относительное движение

- Дрейф по оси x

$$x(t) = -\underline{3C_1\omega_{orb}t} + 2C_2 \cos(\omega_{orb}t) - 2C_3 \sin(\omega_{orb}t) + C_4$$

$$C_1(t_0) = \frac{\dot{x}(t_0)}{\omega_{orb}} + 2z(t_0)$$

- Управление по оси x для устранения дрейфа [2]

$$f_{calc,x}(t) = -\frac{\omega_{orb}}{\Delta t} C_1(t_0), \quad t_0 < t < t_0 + \Delta t$$

- Управление с учетом текущего дрейфа

$$f_{calc,x}(t) \sim -C_1(t - dt)$$

[2] Ivanov D., Monakhova U., Ovchinnikov M. Nanosatellites swarm deployment using decentralized differential drag-based control with communicational constraints // Acta Astronautica. 2019. V. 159. P. 646-657.

Требуемое угловое движение

- Вращение с заданной постоянной угловой скоростью для обеспечения натяжения тросов: $\boldsymbol{\omega}_{ref} = const$
- Движение вдоль требуемой опорной траектории \mathbf{q}_{ref}
 $\dot{\mathbf{q}}_{ref} = 1/2\mathbf{q}_{ref} \circ [0; \boldsymbol{\omega}_{ref}]$, $\mathbf{q}_{ref}(t=0)$ задается
- Расчет управляющего момента – на основе метода Ляпунова. $\boldsymbol{\omega}_{rel} = \boldsymbol{\omega} - \boldsymbol{\omega}_{ref}$, $\mathbf{q}_{rel} = \tilde{\mathbf{q}}_{ref} \circ \mathbf{q}$

Функция Ляпунова $V = \frac{1}{2}(\boldsymbol{\omega}_{rel}^T \mathbf{J} \boldsymbol{\omega}_{rel}) + \mathbf{K}_a (1 - q_{rel,0})$

$$\mathbf{M}_{calc} = \boldsymbol{\omega} \times \mathbf{J} \boldsymbol{\omega} + \mathbf{J} \dot{\boldsymbol{\omega}}_{ref} - \mathbf{J}(\boldsymbol{\omega}_{rel} \times \boldsymbol{\omega}_{ref}) - \mathbf{K}_a \mathbf{q}_{rel} - \mathbf{K}_w \boldsymbol{\omega}_{rel} - \mathbf{M}_{grav}$$

Расчет сил тока

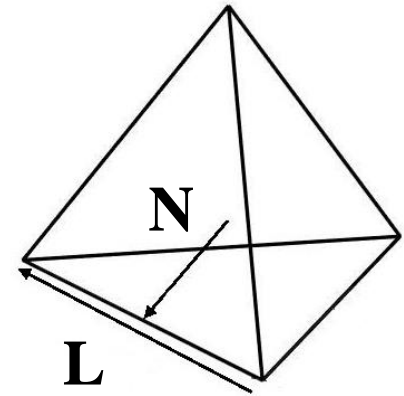
- Токи создают силу и момент, равные

$$\mathbf{F}_{appl} = \sum_{i=1}^6 I_i \mathbf{L}_i \times \mathbf{B}, \quad \mathbf{M}_{appl} = \sum_{i=1}^6 \mathbf{L}_i (\mathbf{N}_i^T \mathbf{B}) I_i$$

- Компоненты силы и момента зависят от токов линейно

$$\begin{bmatrix} f_{appl,x} \\ \mathbf{M}_{appl} \end{bmatrix} = \begin{bmatrix} B_z \sum I_i L_{i,y} - B_y \sum I_i L_{i,z} \\ \sum \mathbf{L}_i (\mathbf{N}_i^T \mathbf{B}) I_i \end{bmatrix} = \begin{bmatrix} \mathbf{a}_f^T \\ \mathbf{A}_M \end{bmatrix} = \mathbf{A} \mathbf{I},$$

$$\mathbf{A} = \begin{bmatrix} B_z L_{i,y} - B_y L_{i,z} \\ \mathbf{L}_i (\mathbf{N}_i^T \mathbf{B}) \end{bmatrix}, \quad \mathbf{I} = [I_1, \dots, I_6]^T$$



Расчет сил тока

- Токи I_k ограничиваются по модулю параметром I_{\max}

$$\begin{cases} \left| \mathbf{M}_{appl}(\mathbf{I}) - \mathbf{M}_{calc} \right|^2 + k_{Mf} \left(f_{appl,x}(\mathbf{I}) - f_{calc,x} \right)^2 \rightarrow \min \\ |I_k| \leq I_{\max}, k = 1 \dots 6 \end{cases}$$

$$\|\mathbf{A}\mathbf{I} - \mathbf{b}\|^2 = \mathbf{I}^T \mathbf{A}^T \mathbf{A} \mathbf{I} - 2\mathbf{b}^T \mathbf{A} \mathbf{I} + \mathbf{b}^T \mathbf{b} = \frac{1}{2} \mathbf{I}^T (2\mathbf{A}^T \mathbf{A}) \mathbf{I} - 2(\mathbf{A}^T \mathbf{b})^T \mathbf{I} + \mathbf{b}^T \mathbf{b}$$

- Задача квадратичного программирования с ограничениями типа неравенства

$$\begin{cases} J_{opt} = \frac{1}{2} \mathbf{I}^T \left(\mathbf{A}_M^T \mathbf{A}_M + k_{Mf} \mathbf{a}_f \mathbf{a}_f^T \right) \mathbf{I} - \left(\mathbf{A}_M^T \mathbf{M}_{calc} + k_{Mf} \mathbf{a}_f f_{calc,x} \right)^T \mathbf{I} \rightarrow \min \\ |I_k| \leq I_{\max}, k = 1 \dots 6 \end{cases}$$

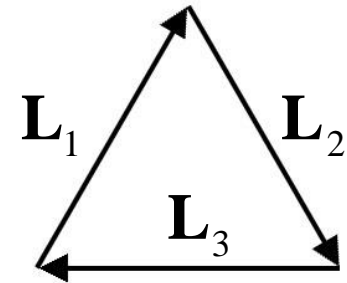
Контурь с током

- Суммарная сила равна нулю

$$\mathbf{F} = I\mathbf{L}_1 \times \mathbf{B} + I\mathbf{L}_2 \times \mathbf{B} + I\mathbf{L}_3 \times \mathbf{B} = I(\mathbf{L}_1 + \mathbf{L}_2 + \mathbf{L}_3) \times \mathbf{B} = I\mathbf{0} \times \mathbf{B}$$

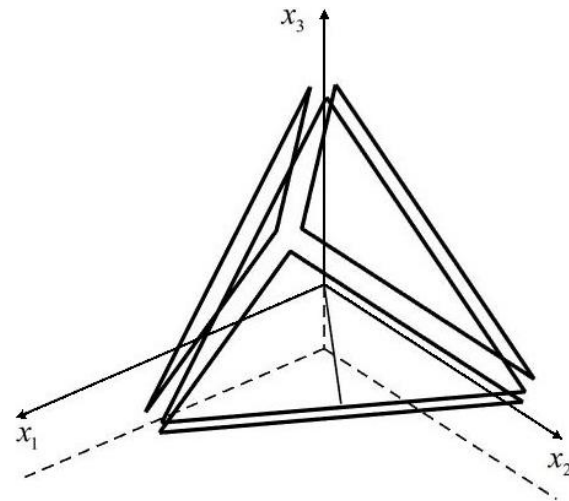
- Момент не равен нулю

$$\mathbf{M} = I(\mathbf{L}_1(\mathbf{N}_1^T \mathbf{B}) + \mathbf{L}_2(\mathbf{N}_2^T \mathbf{B}) + \mathbf{L}_3(\mathbf{N}_3^T \mathbf{B}))$$



- Момент, действующий на тетраэдр, линейно зависит от токов

$$\mathbf{M}_{appl} = \sum_{i=1}^{N_I} \left(\sum_{j=1}^{N_i} \mathbf{L}_{i,j} (\mathbf{N}_{i,j}^T \mathbf{B}) \right) I_i = \mathbf{A}_M \mathbf{I}$$



Параметры моделирования

Высота орбиты 550 км

Масса спутников 10 кг

Масса стержней 100 г

Длина стержней 10 м

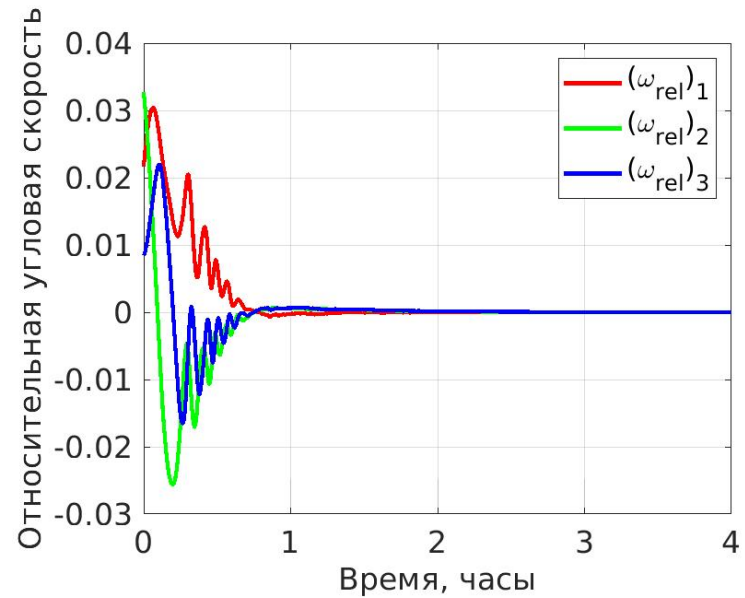
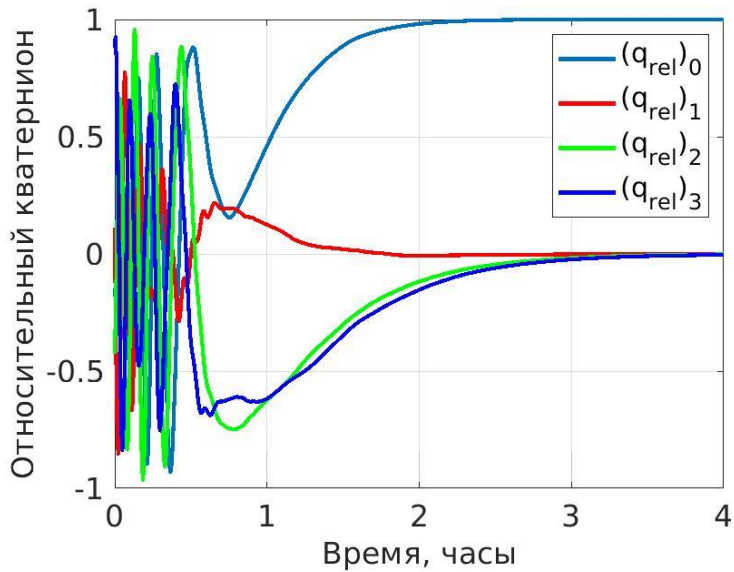
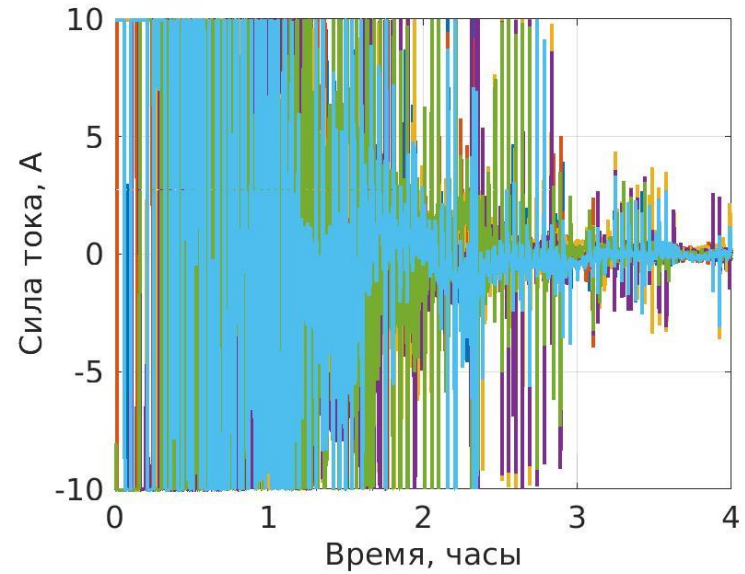
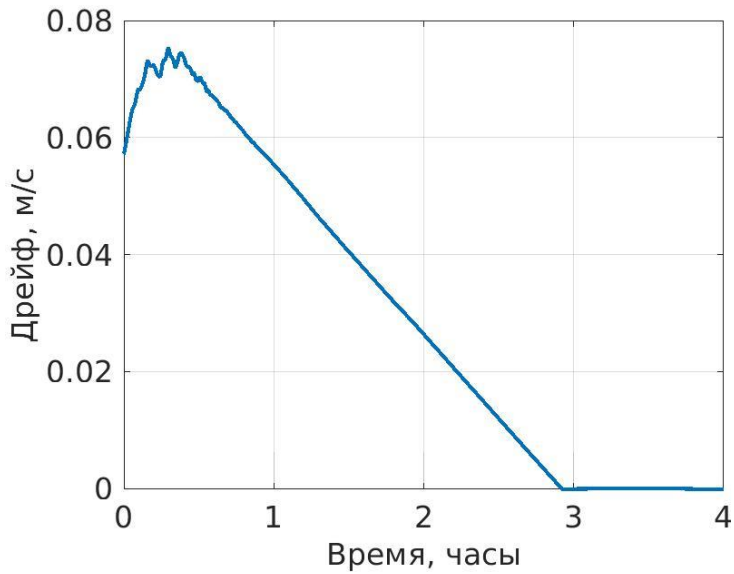
Максимальный ток 10 А

k_{Mf} 100

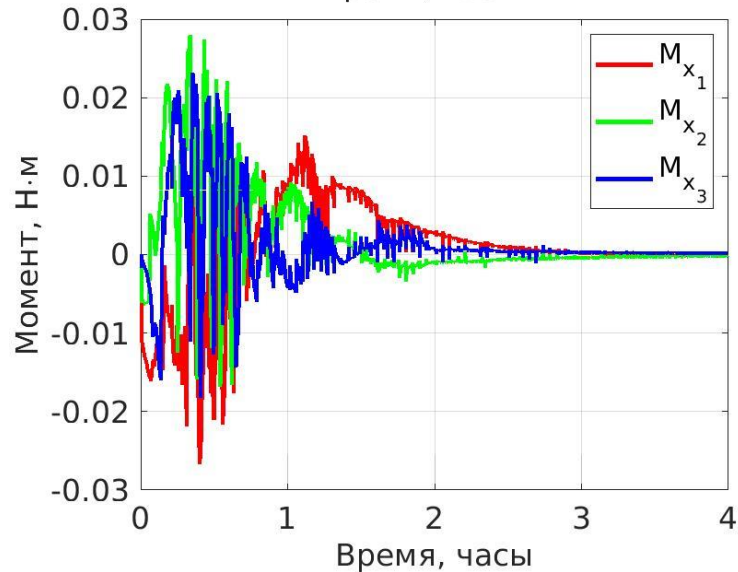
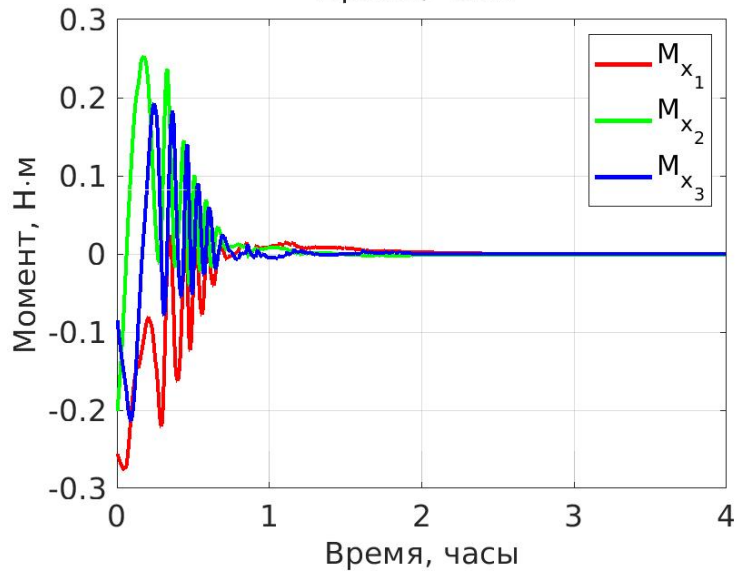
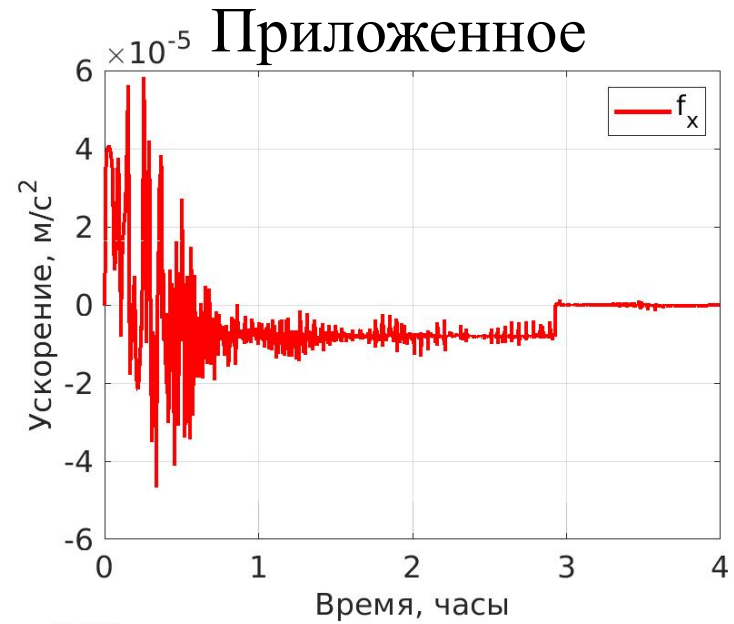
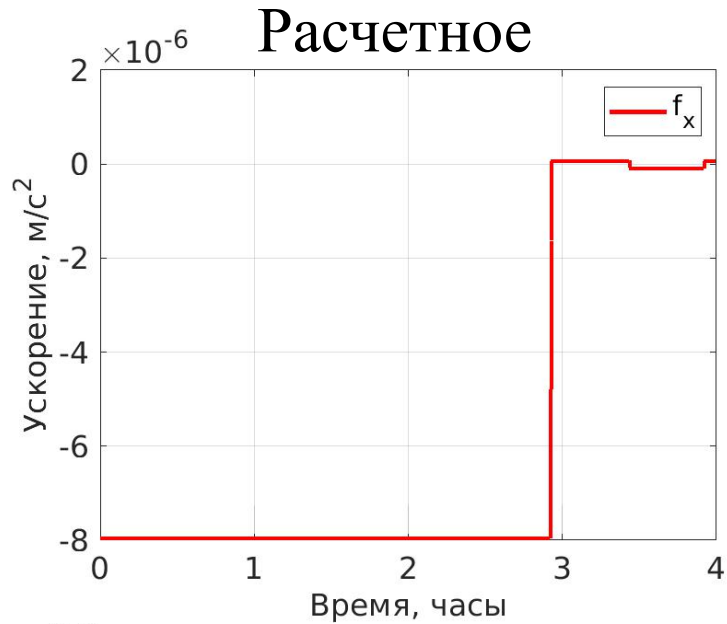
Требуемая угловая скорость 10^{-2} рад/с

$$\mathbf{K}_w = \text{diag}([8, 8, 8]) \frac{\text{Н} \cdot \text{м}}{\text{с}}, \quad \mathbf{K}_a = \text{diag} \left(\left[\frac{K_{w,1}^2}{8J_{xx}}, \frac{K_{w,2}^2}{8J_{yy}}, \frac{K_{w,3}^2}{8J_{zz}} \right] \right) \text{Н} \cdot \text{м}$$

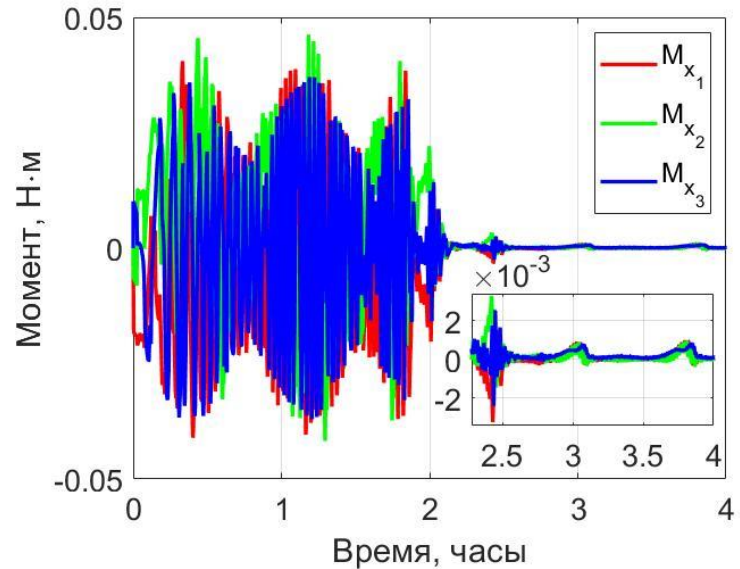
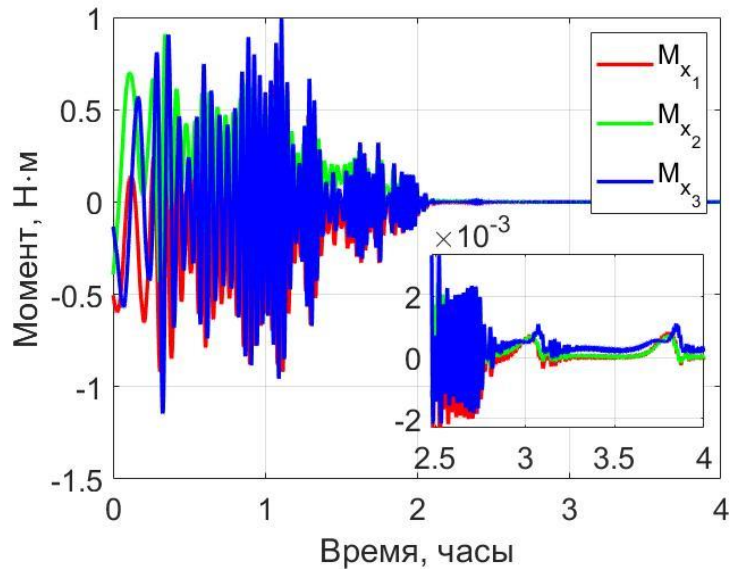
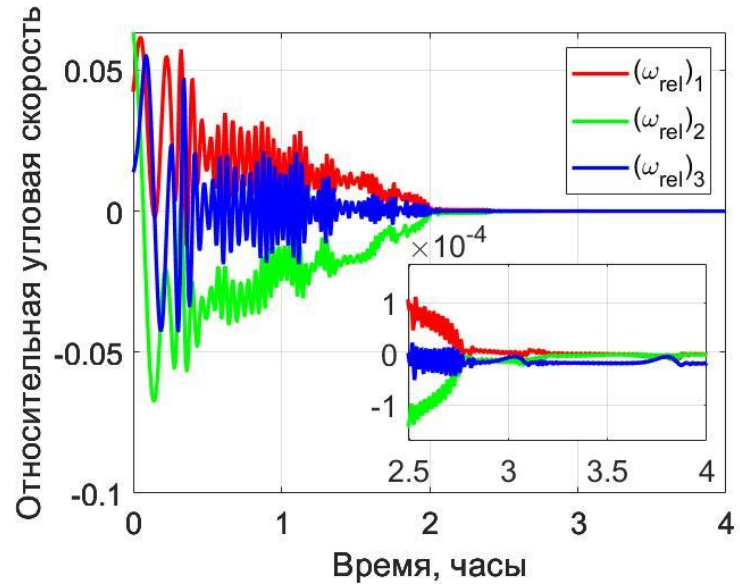
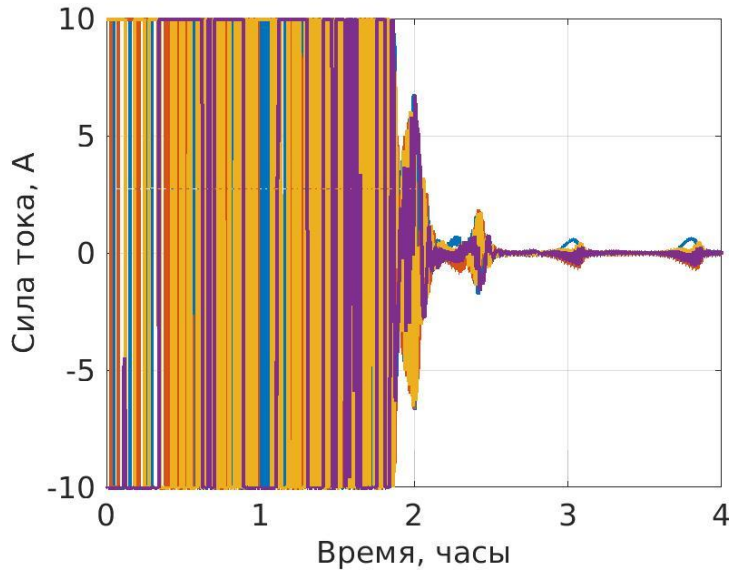
Параметры движения



Управление

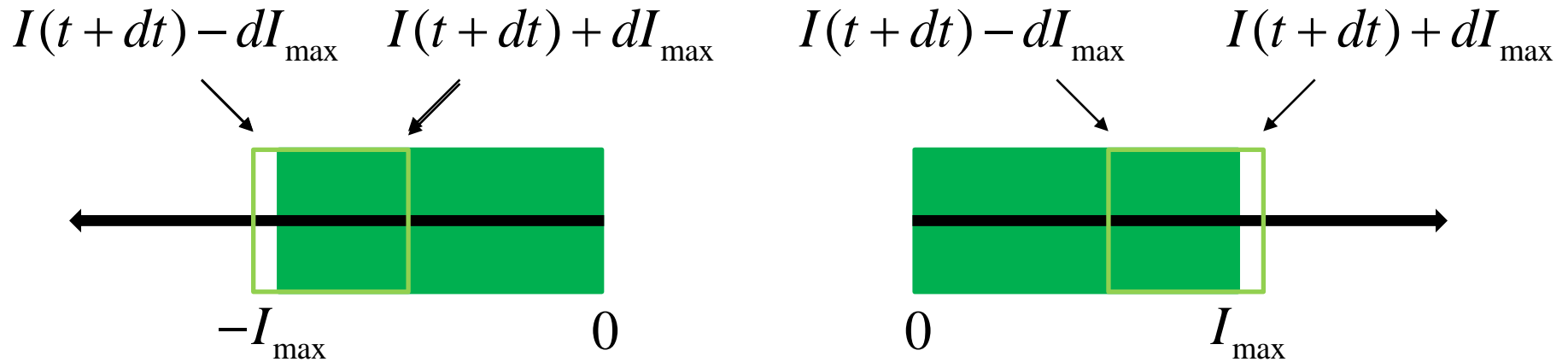


4 контура



Ограничения скорости изменения СИЛЫ ТОКА

$$|I| \leq I_{\max}, I(t - dt) - dI_{\max} \leq I(t) \leq I(t - dt) + dI_{\max}$$

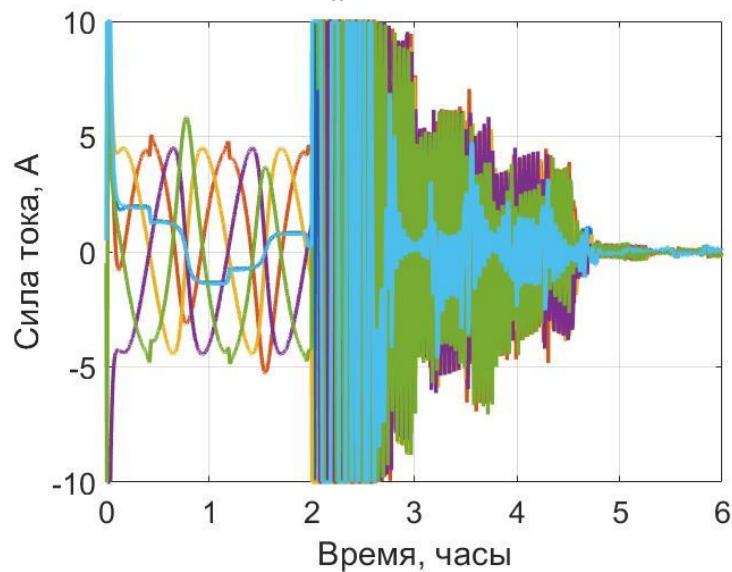


$$I(t) \geq \max \left\{ -I_{\max}, I(t - dt) - dI_{\max} \right\}$$

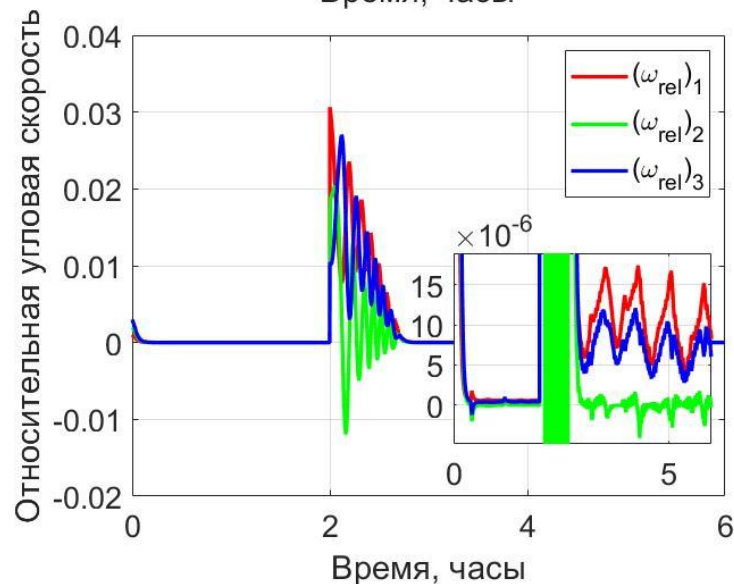
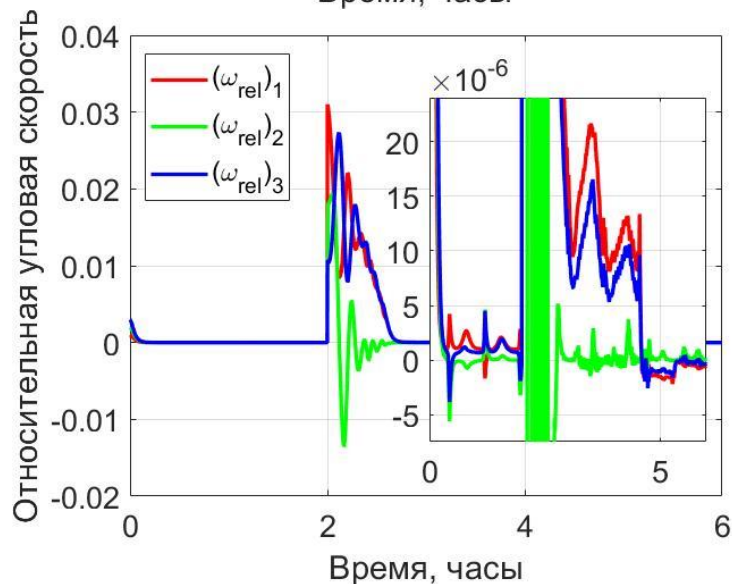
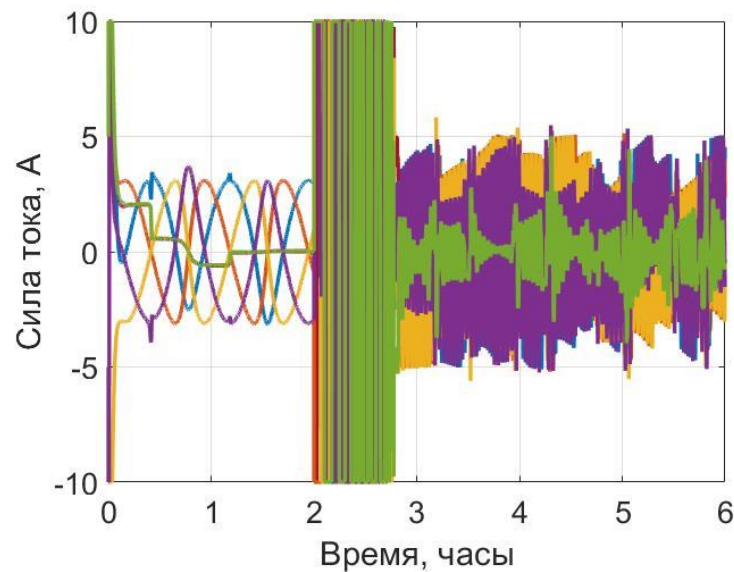
$$I(t) \leq \min \left\{ I_{\max}, I(t - dt) + dI_{\max} \right\}$$

Ограничения изменения силы тока

$$dI_{\max} = 0.5 \text{ A}$$

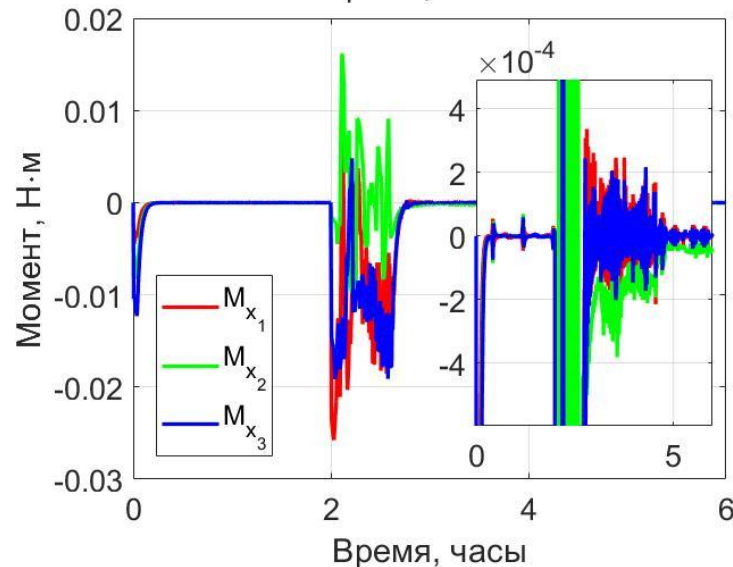
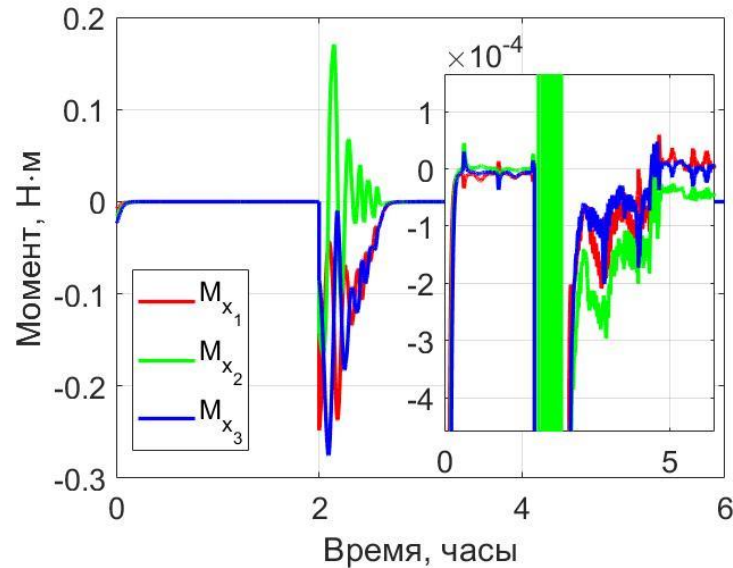


$$dI_{\max} = 5 \text{ A}$$

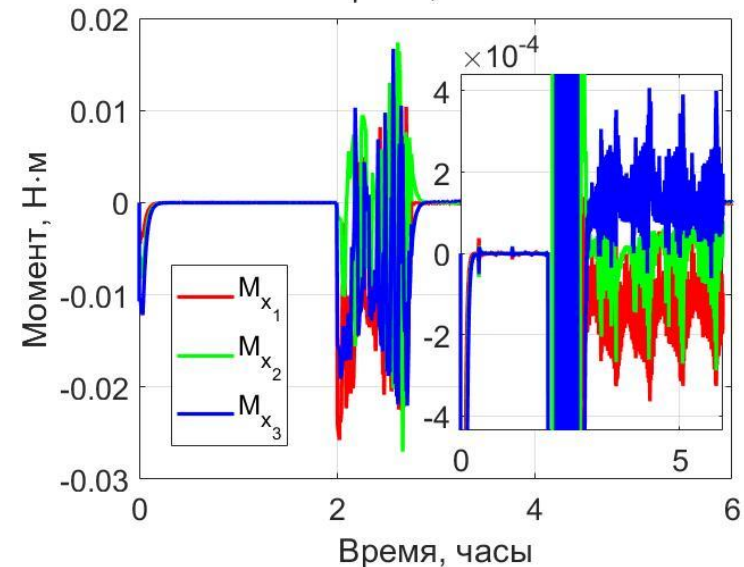
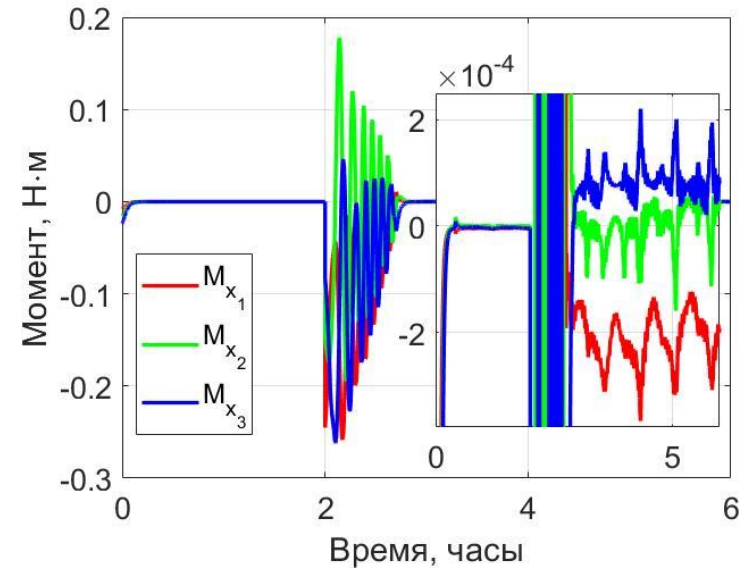


Ограничения изменения силы тока

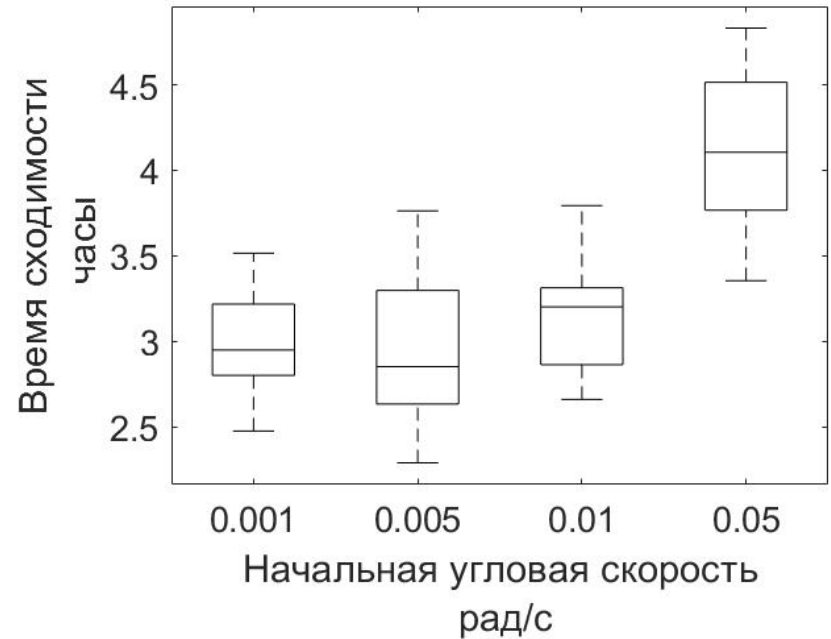
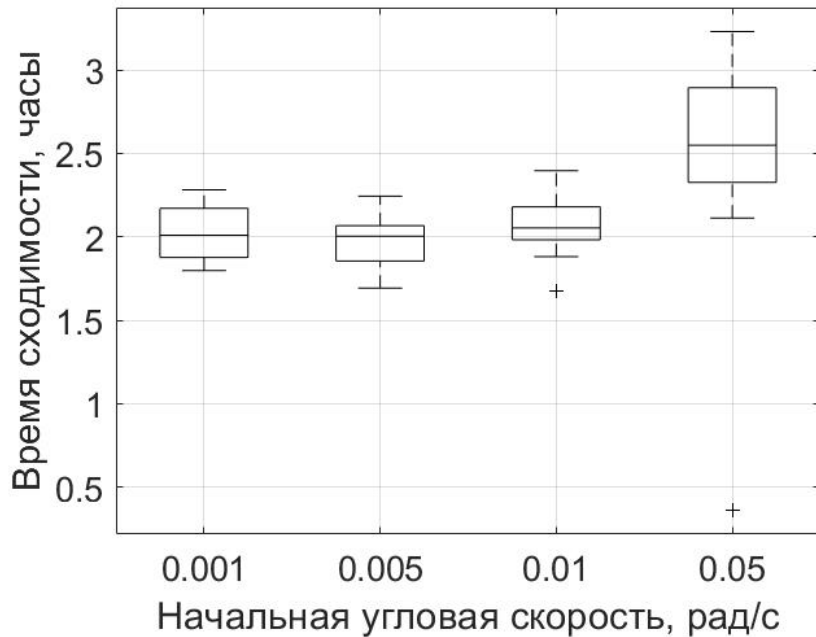
$$dI_{\max} = 0.5A$$



$$dI_{\max} = 5A$$



Зависимость от начальных условий



- Проведено численное исследование с помощью метода Монте-Карло

Заключение

- Показана принципиальная возможность управления тетраэдральной группой аппаратов с помощью электрического тока, текущего по проводникам, установленным на аппарате
- Для заданных в работе параметров системы требуемое угловое и поступательное движение достигается за 4 часа
- Проведено исследование движения системы при различных ее параметрах

Публикации и доклады

- К.С. Чернов, Д.С. Иванов «Управление тросовой тетраэдральной формацией микроспутников с помощью силы Лоренца» // Труды 64-й конференции МФТИ, 25 ноября – 3 декабря 2021 г.
- К.С. Чернов, Д.С. Иванов. «Использование силы Лоренца для управления тросовой тетраэдральной формацией микроспутников на низкой околоземной орбите» // XLVI Академические чтения по космонавтике, 25-28 января 2022 г.

Дальнейшие планы

- Изучение различных моделей для учета гибкости тросов
- Исследование движения системы при ее развертывании
- Выступления на конференциях
- Рассмотрение других аспектов реализации системы

Спасибо за внимание!